

مقایسه خواص اپتیکی و ساختاری سرامیک PZT تهیه شده به دو روش سنتی و سل ژل

پاکیزه، اسماعیل^۱ خرمی، غلامحسین^۱ قاسمی فرد، مهدی^۲ کمپانی، احمد^۳ حسینی، سید محمد^۳

^۱دانشجوی کارشناسی ارشد فیزیک (گرایش حالت جامد) دانشگاه فردوسی مشهد

^۲دانشجوی دکتری فیزیک (گرایش حالت جامد) دانشگاه فردوسی مشهد

^۳گروه فیزیک دانشگاه فردوسی مشهد

چکیده

در این پژوهش خواص اپتیکی پودر سرامیک $Pb(Zr_{0.95}Ti_{0.05})O_3$ که با دو روش سنتی و سل ژل تهیه شده‌اند، مورد بررسی قرار گرفته است. پودرهای حاصل بوسیله روش‌های FTIR, TEM, XRD و طیف سنجی Raman مشخصه یابی شدند. اندازه ذرات پودر در روش سل ژل حدود ۲۵ nm و در روش سنتی در حواله چند میکرومتر تعیین گردیدند. نتایج نشان می‌دهد که پودرهای حاصل دارای ساختار فاز اورتوفربیک‌اند. ضرایب شکست و خاموشی و تابع دی الکتریک پودرهای PZT تهیه شده به کمک روابط کرامز-کرونیگ محاسبه و مقایسه شدند.

Comparison of structural and optical characterizations of PZT ceramics prepared by traditional and sol gel methods

Pakizeh*, Esmaeil; Khorrami, Gh. Hossein; Ghassemifard, Mahdi; Kompany, Ahmad; Hosseini, S. Mohammad

¹Department of Physics (Materials and Electroceramics Laboratory), Ferdowsi University of Mashhad, Iran

*Email: pakizeh_dehdasht@yahoo.com

Abstract

This paper describe the synthesis of $Pb(Zr_{0.95}Ti_{0.05})O_3$ ceramic by sol gel and traditional methods. The powders were characterized using XRD, TEM, FTIR and Raman methods indicated. The particles size, using sol gel method, found to be about 25nm and in traditional method about a few micro meters. The results show that the structures of powders are orthorhombic. The optical constants of powders have been measured and compared, using FTIR transmittance spectroscopy and Kramers-Kronig analysis.

PACS No. 61.10, 78.20, 77.84, 78.30, 7800

مبدل‌های پیزوالکتریک و پایروالکتریک و نیز مبدل‌های فرماحتوی نام برد [۲]. سرامیکهای PZT دارای ساختار پروسکایت‌اند که دارای قابلیت ذخیره بار، میدان و ادارنده ضعیف و پایداری گرمایی نزدیک مرز مورفورتروپیک‌اند. روش معمول برای تهیه پودر PZT روش حالت جامد است (Mixed Oxide) که در آن مخلوطی از اکسیدها PbO , ZrO_2 , TiO_2 استفاده می‌شود. این

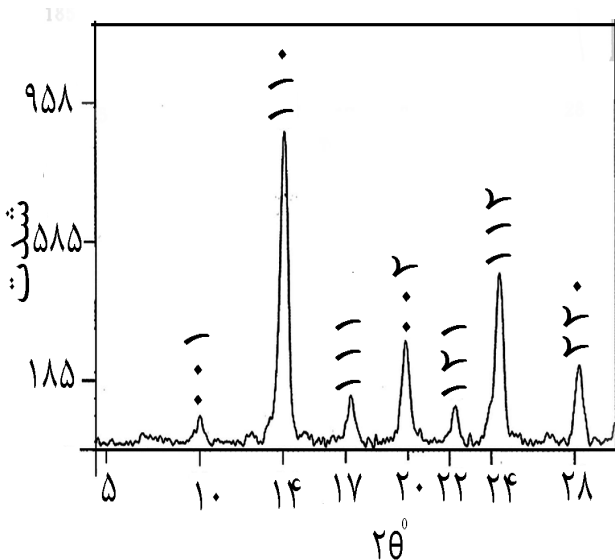
۱- مقدمه

نظر به کاربرد روز افزون سرامیکهای پیزوالکتریک و پایروالکتریک، این مواد کاربرد گسترده‌ای در ساخت قطعات الکترونیکی، اپتیکی والکترواپتیکی پیدا کرده‌اند [۱]. که می‌توان از حسگرهای مادون قرمز، قطعات حافظه‌ای، آشکارسازهای مادون قرمز پایروالکتریک

های ریک از کاتیونها به صورت زیر تهیه شد. نیترات سرب و نیترات زیرکوئیم در آب م قطر برای تولید یون pb^{+2} و Zr^{+4} حل شدند. برای تهیه کاتیون Ti^{+4} ایزوپروپکساید تیتانیوم را در محلول اسید نیتریک، اسید سیتریک و آب اکسیژنه حل کردیم. برای تهیه پیش ماده سل PZT، هریک از محلولهای سرب، زیرکوئیوم و تیتانیوم تهیه شده به روش فوق را با هم مخلوط می‌کنیم. شکل ۱ فرایند تولید پودر PZT را نشان می‌دهد. برای بدست آوردن ژل، سل PZT را تحت شرایط هم‌زنی دائم و دمای ۶۵ تا ۷۰ درجه سانتی گراد به محلول اسید سیتریک اضافه می‌کنیم. ضمناً pH محلول حاصل را با استفاده از هیدروکسید آمونیوم در عدد ۷ ثابت نگه می‌داریم. برای تبخیر تمامی آب موجود در سل PZT، ماده را در دمای ۸۰°C حرارت می‌دهیم تا آنکه ژل بدست آید. سپس پودر سیاه رنگ PZT حاصل از واکنش گرمایی سوختن ژل بدست می‌آید. روش فوق را احتراق ژل نیز می‌نمایند. بعد از احتراق ژل پودر حاصل در دماهای ۷۵°C، ۸۰°C، ۸۵°C، ۸۰۰°C، ۸۵۰°C، ۹۰۰°C، به منظور تهیه پودر PZT تک فاز، تکلیس شد.

۳- اندازه گیری، نتایج و بحث

الگوی پراش پرتو ایکس (XRD) از پودرهای PZT با آهنگ گرمایی $0/5^\circ\text{C}/\text{min}$ در شکل ۱ نشان داده شده است.



شکل ۱- طیف پراش اشعه ایکس پودرهای PZT نتایج حاصل نشان می‌دهد که در دمای تکلیس ۸۵۰°C پودرهای بدست آمده دارای ساختار اورترومیک اند. طیف های XRD،

روش با مشکلاتی از قبیل دمای سیتر بالا، تغییرات زیاد فاز هنگام مخلوط کردن اکسیدها، عدم تناسب عنصری و ضعف میکروساختار روبرو است [۳]. برای از بین بردن این مشکل باید دمای گرمادهی تا حد امکان پایین آورده شود که این منجر به همگنی بالا و کنترل بهتر روی ترکیبات سرامیک می‌شود. روش‌های شیمیابی مانند، سل-ژل احتراق ژل (gel-combustion) و هم رسوی ب منجر به تشکیل ذرات ریزبا همگنی بالا و تسريع در امر ساخت سرامیک‌ها می‌شود [۴-۶]. در دمای اتاق ترکیب $\text{Pb}(\text{Zr}_{1-x}\text{Ti}_x)\text{O}_3$ بسته به مقدار x ، دارای فازهای مختلفی از قبیل تتراؤگونال (C^1_{4v})، اورتروموبیک (C^8_{2v}) و رومبودرال ($\text{C}^1_{3v}, \text{C}^6_{3v}$) است. در دمای بالای کوری کلیه ساختارها به فاز مکعبی (O^1_h) گذارمی‌کنند. درین تحقیق مقدار $x=0.5$ انتخاب شده است که در دمای اتاق ماده دارای ساختار فاز اورتروموبیک (C^8_{2v}) است. ترکیب در دمای اتاق اورتروموبیک و آنتی فروالکتریک است، که با افزایش دما به ساختار رومبودرال فروالکتریک و با افزایش بیشتر دما به مکعبی پارالکتریک تبدیل می‌شود [۷].

۲- روش انجام آزمایش

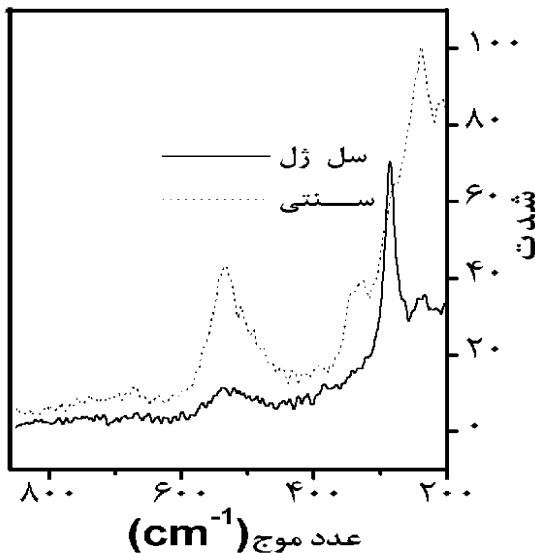
۱- روش ستی یا حالت جامد (MO)

مواد آغازین عبارت بودند از اکسید سرب PbO ، اکسید تیتانیم TiO_2 و اکسید زیرکوئیم ZrO_2 . پودرهای اکسید بعد از وزن شدن به دقت با هم مخلوط و سپس با استفاده از هاون دستی آسیاب شدند. برای بدست آوردن پودری یکنواخت و همگن مقداری آب م قطر به آن اضافه گردید تا به صورت خمیری شکل در آید. به مدت یک شبانه روز با دستگاه بال میل خمیر حاصله بهم زده شدند. سپس مجدداً آنرا در هاون دستی آسیاب نمودیم تا پودر برای مرحله کلسینه کردن کاملاً آماده شود. در مرحله کلسینه کردن ساختار سرامیک شکل می‌گیرد. پودر را در دماهای ۹۰۰°C و ۹۵۰°C در جه سانتی گراد کلسینه کردیم.

۲- روش شیمیابی Sol-gel

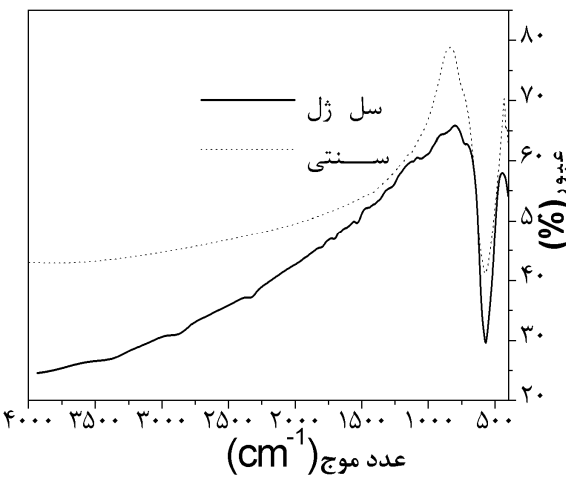
مواد اولیه دراین روش عبارت بودند از نیترات سرب $\text{ZrO}(\text{NO}_3)_2$ ، نیترات زیرکوئیم هیدراته $\text{Pb}(\text{NO}_3)_2$ و ایزوپروپکساید تیتانیوم $\text{Ti}((\text{OCH}(\text{CH}_3)_2$). ابتدا محلول

اصلی و یک پیک فرعی است ولذا روش سنتی از قطبش پذیری بالاتری نسبت به روش سل ژل برخوردار است [۹].



شکل ۳- نمودار Raman دو روش سنتی و سل ژل

شکل ۴ طیف مادون قرمز تبدیل فوریه (FTIR) پودرهای بلوری PZT تهیه شده به هر دو روش را نشان می دهد. یک نوار جذبی قوی در گستره 750cm^{-1} تا 500cm^{-1} دیده می شود که مربوط به پیوند M-O-M که M یک فلز است که نشان دهنده تشکیل ساختار پروسکایت است [۱۰].

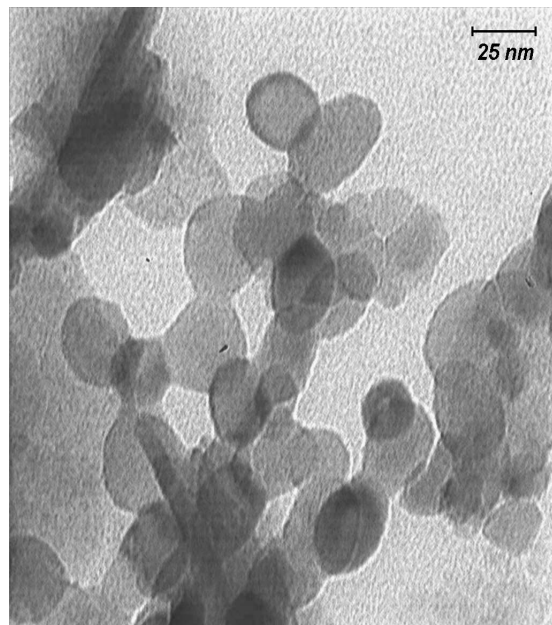


شکل ۴- تصویر IR پودر PZT

ثابت‌های اپتیکی از قبیل ضریب شکست (n) ضریب خاموشی (k) و قسمتهای حقیقی و موهومی تابع دی الکتریک (ϵ' و ϵ'') با استفاده از طیف سنجی FTIR و استفاده از معادلات کرامرز-کرونیگ ارزیابی شده اند. نتایج در شکلهای ۵ و ۶ به صورت تابعی از عدد موج نشان داده شده است.

توسط نرم افزار Celeref مقادیر a, b, c ثابت های شبکه به ترتیب $3.41, 5.6$ و $4/70$ آنگستروم بدست آمده است. همچنین با استفاده از طیفهای XRD و رابطه شر، $D = \frac{k\lambda}{w\cos\theta}$ ، اندازه متوسط ذرات محاسبه گردید. D، λ ، θ و w بترتیب اندازه بلورکها، طول موج تابشی (λ = 0.07093 nm)، زاویه قله براگ و پهنا در نیم ارتفاع (برحسب رادیان) هستند. K ثابتی است که به مورفولوژی بورکها وابسته است و از 0.89 تا 1.39 رادیان تغییر می کند، در اینجا $K=1$ انتخاب شده است [۸]. اندازه متوسط ذرات درین دما با استفاده از رابطه شر 1639 نانومتر بدست آمد که در توافق خوبی با نتایج حاصل از تصاویر TEM است.

شکل ۲ تصویر TEM پودر PZT کلسینه شده را نشان می دهد. دانه ها تقریباً شکل کروی دارند. اندازه ذرات اولیه پودرها را می توان با استفاده از تصاویر TEM تعیین کرد. اندازه متوسط دانه های پودر PZT در حدود 25 nm است.



شکل ۲- تصویر TEM از پودر PZT

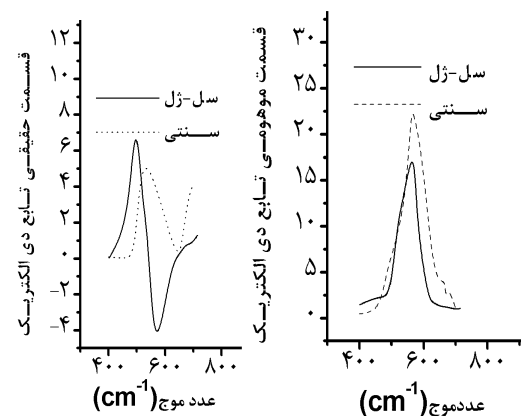
میزان قطبش پذیری پودرها به کمک طیف Raman مشخص شد. شکل ۳ طیف رامان برای هر دو روش را نشان می دهد. پیک ها میزان قطبش پذیری را برای ما مشخص می کنند. همان طور که در این شکل دیده می شود، روش سنتی دارای دو پیک اصلی و دو پیک فرعی است در حالی که روش سل ژل تنها دارای یک پیک

سپاسگزاری

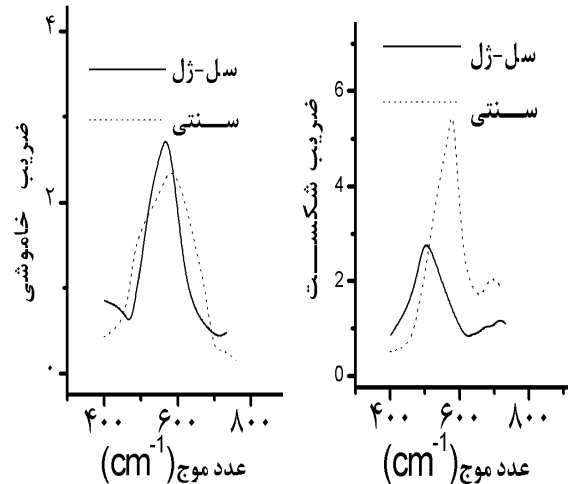
از جناب آقای دکتر طیاری در گروه شیمی دانشگاه فردوسی مشهد
جهت تهیه طیفهای Raman و FT-IR تشکر و قدردانی می‌شود.

مراجع

- [1] X.Chen , H.Yamane , and K.Kaya " Synthesis and properties highly c-axis oriented PbTiO₃ Thin film prepared by MOCVD method " J.phys. (1992) 1439-1444
- [2] J.Subchanicz and K.Wojcik, "Effect external stress on dielectric properties PbTiO₃ single crystal" Material Science and Engineeng B104(2003) 31-35
- [3] R. Takayama, Y. Tomita, Ferroelectrics **118** (1991) 325.
- [4] M. Ghasemifard and S. M. Hosseini "Synthesis and characterization of PZT nanopowder by coprecipitation gel-combustion methods", 3rd Iranian student conference on nano technology, Shiraz University, Iran, 6-9 February (2008).
- [5] N. Okada, K. Ishikawa, T. Nomura, K. Murakami, S. Fukuoka, N. Nishino, and U. Kihara, "Low-hysteresis actuator of alkoxide-prepared Pb_{0.96}Sr_{0.04}(Zr_{0.51}Ti_{0.49})O₃" Jpn. J. Appl. Phys. Vol. **30** (1991) 2267-2270.
- [6] N. Okada, K. Ishikawa, K. Murakami, T. Nomura, M. Hagino, N. Nishino, and U. Kihara, "Microstructure of alkoxide-prepared lead zirconate titanate actuator" Jpn. J. Appl. Phys. Vol. **31** (1992) 3041-3044.
- [7] B. Jaffe, W.R. Cook, and H. Jaffe, Piezoelectric Ceramic, Academic Press, New York, (1971).
- [8] Nimmo, W., Ali, N. J., Brydson, R. M., Calvert, C., Hampart soumian, E., Hind, D. et al., Formation of lead zirconate titanate powders by spray pyrolysis. J. Am. Ceram. Soc. **86**(9) (2003), 1474-1480.
- [9] J. T. Last, "Infrared-absorption studies on barium titanate and related materials", Phys. Rev., **105**(1957)1740-1750.
- [10] J. T. Last, "Infrared-absorption studies on barium titanate and related materials", Phys. Rev., **105**(1957)1740-1750.



شکل ۵- نمودارهای 'E' و 'G' به صورت تابعی از عدد موج



شکل ۶- نمودارهای n و k به صورت تابعی از عدد موج

۴-نتیجه گیری

پودرهای PZT با مقیاس نانو و میکرو با ساختار پروسکایت با استفاده از پیش مواد آلی فلزی و نمکهای فلزی به دو روش سل ژل و سننی تهیه شدند. شروع تشکیل فاز PZT در دمای کلسینه پایین ۸۵۰°C رخ می دهد. اندازه ذرات پودر در حدود ۲۵ nm برای روش سل ژل تعیین گردید. اندازه دانه های پودر تهیه شده به روش سننی در حدود چند میکرومتر است. طیف IR نشان می دهد که ساختار بلوری پودرها پروسکایت است. طیف Raman نشان می دهد که قطبش پذیری ذرات در روش سننی بیشتر از روش سل ژل است، زیرا اندازه ذرات بزرگتر می باشد. ثابتهای اپتیکی با استفاده از معادلات کرامرز-کرونیگ تعیین شدند.